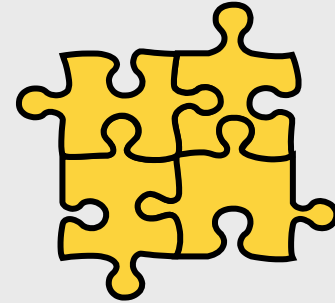


Procedimientos de Cifrado en flujo

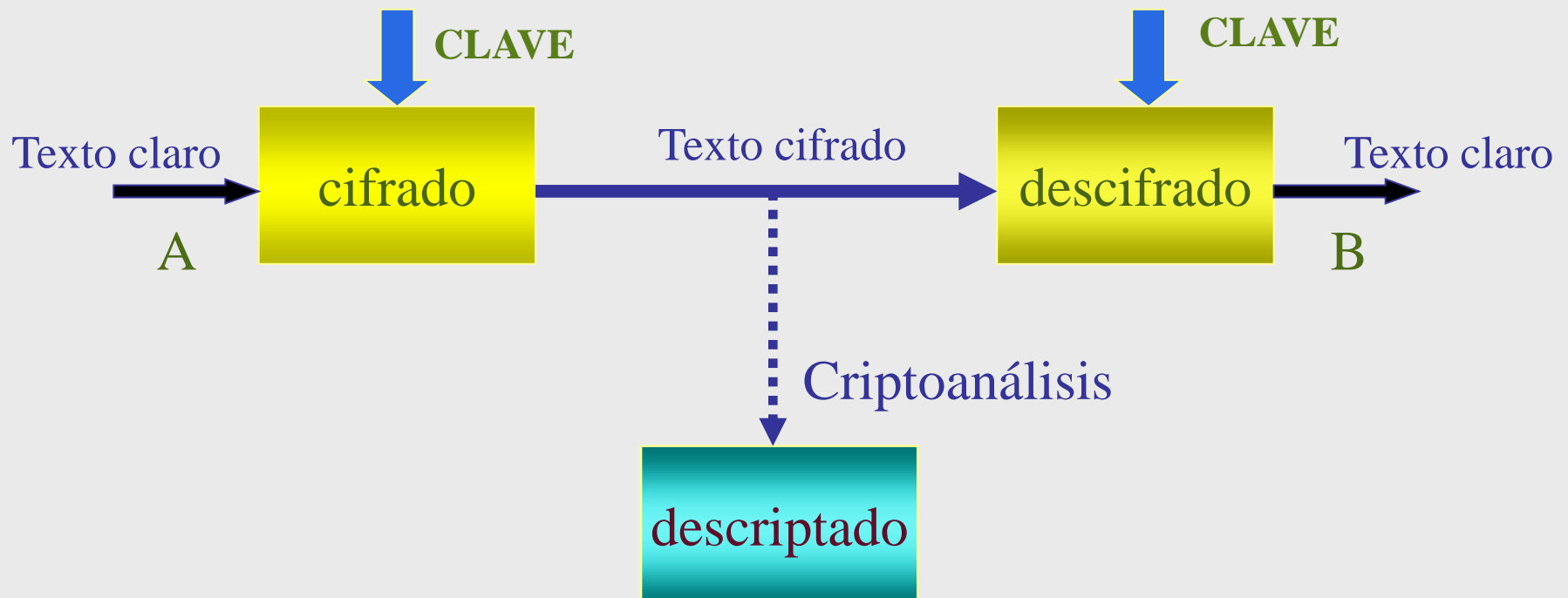
Amparo Fúster Sabater
Instituto de Física Aplicada C.S.I.C.
amparo@iec.csic.es

Contenido

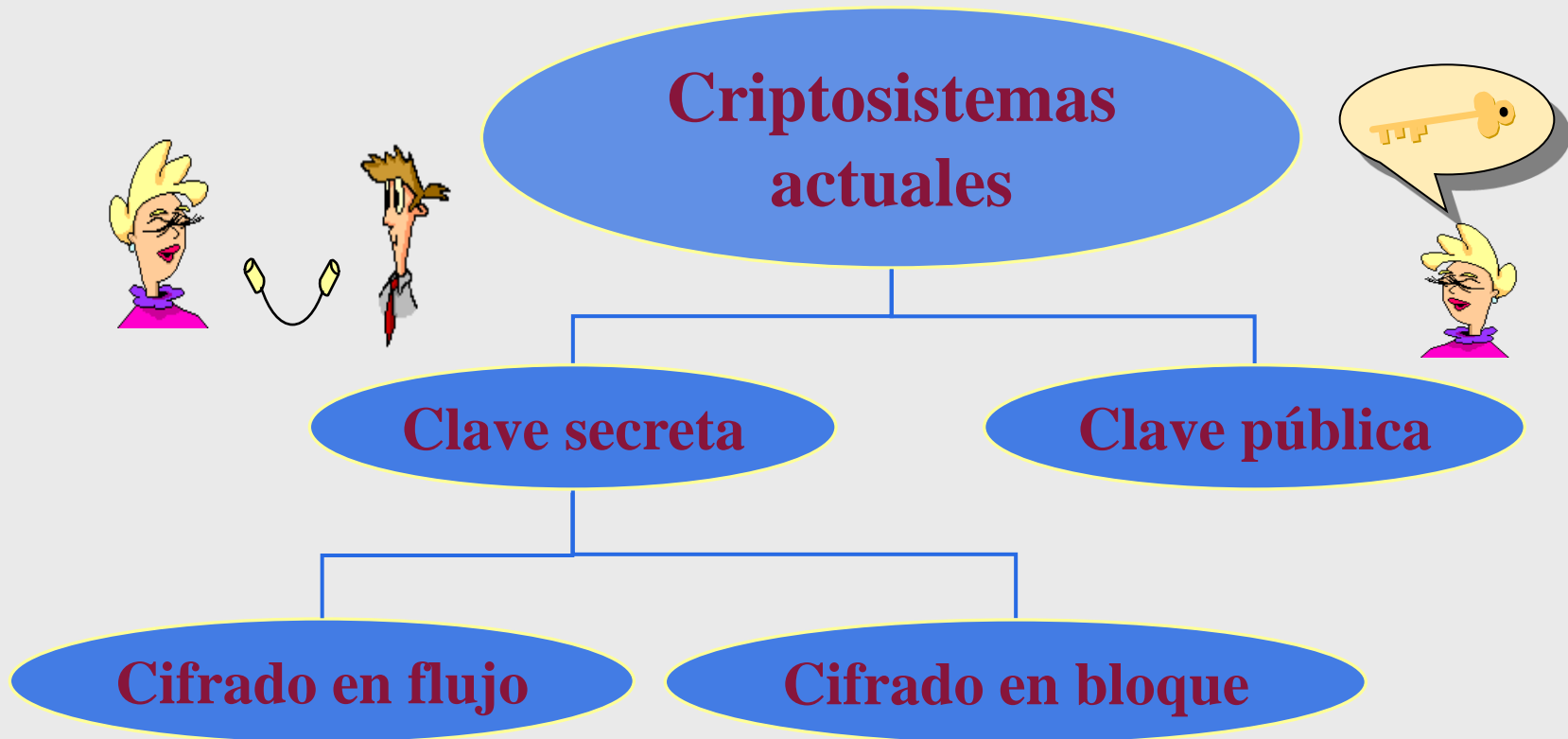


- Operaciones binarias
- Del cifrado Vernam al cifrado en flujo
- Secuencias cifrantes
- Generadores de secuencias cifrantes

Procedimiento Criptográfico: Esquema General



Criptografía Actual



Operaciones binarias

- Suma módulo 2 $\longrightarrow \oplus$

x_1	x_2	\oplus
0	0	0
0	1	1
1	0	1
1	1	0

Operación **XOR**

$$F(x_1, x_2) = x_1 \oplus x_2$$



- Producto lógico $\longrightarrow \cdot$

Operación **AND**

$$F(x_1, x_2) = x_1 x_2$$

x_1	x_2	\cdot
0	0	0
0	1	0
1	0	0
1	1	1

Fundamentos matemáticos

- Función Booleana:

$$F(x_1, x_2, \dots, x_n) \longrightarrow \text{variables binarias}$$

- Función lineal: **no** adecuadas para criptografía

$$F(x_1, x_2, \dots, x_n) = x_1 \oplus x_2 \oplus x_n$$



- Función no lineal: Forma algebraica normal (A.N.F.)

$$F(x_1, x_2, \dots, x_n) = x_1 x_2 \oplus x_3 x_{n-1} x_n$$

Orden no lineal: producto con mayor número de variables

Cifrado Vernam (1917)

- **One-time Pad** (Cifrado con cinta aleatoria)

Clave: *Secuencia binaria aleatoria de uso único*

- **Cifrado:**

$$Y_i = X_i \oplus Z_i \pmod{2}$$



- **Descifrado:**

$$X_i = Y_i \oplus Z_i = (X_i \oplus Z_i) \oplus Z_i \pmod{2}$$

Mensaje: *come soon* (Código ITA-2)

Mensaje X	00011	01111	01101	00101	10011	01111	01111	01110
Clave Z	11011	00101	01011	00110	10110	10101	01100	10010
Criptograma Y	11000	01010	00110	00011	00101	11010	00011	11100

Condiciones de secreto perfecto (Shannon)



- Condiciones de aplicación:
 - La clave se utiliza sólo una vez
 - El criptoanalista tiene acceso sólo al criptograma

- **Secreto perfecto:**

“El texto claro X es estadísticamente independiente del criptograma Y para todos los posibles textos claros y todos los posibles criptogramas”

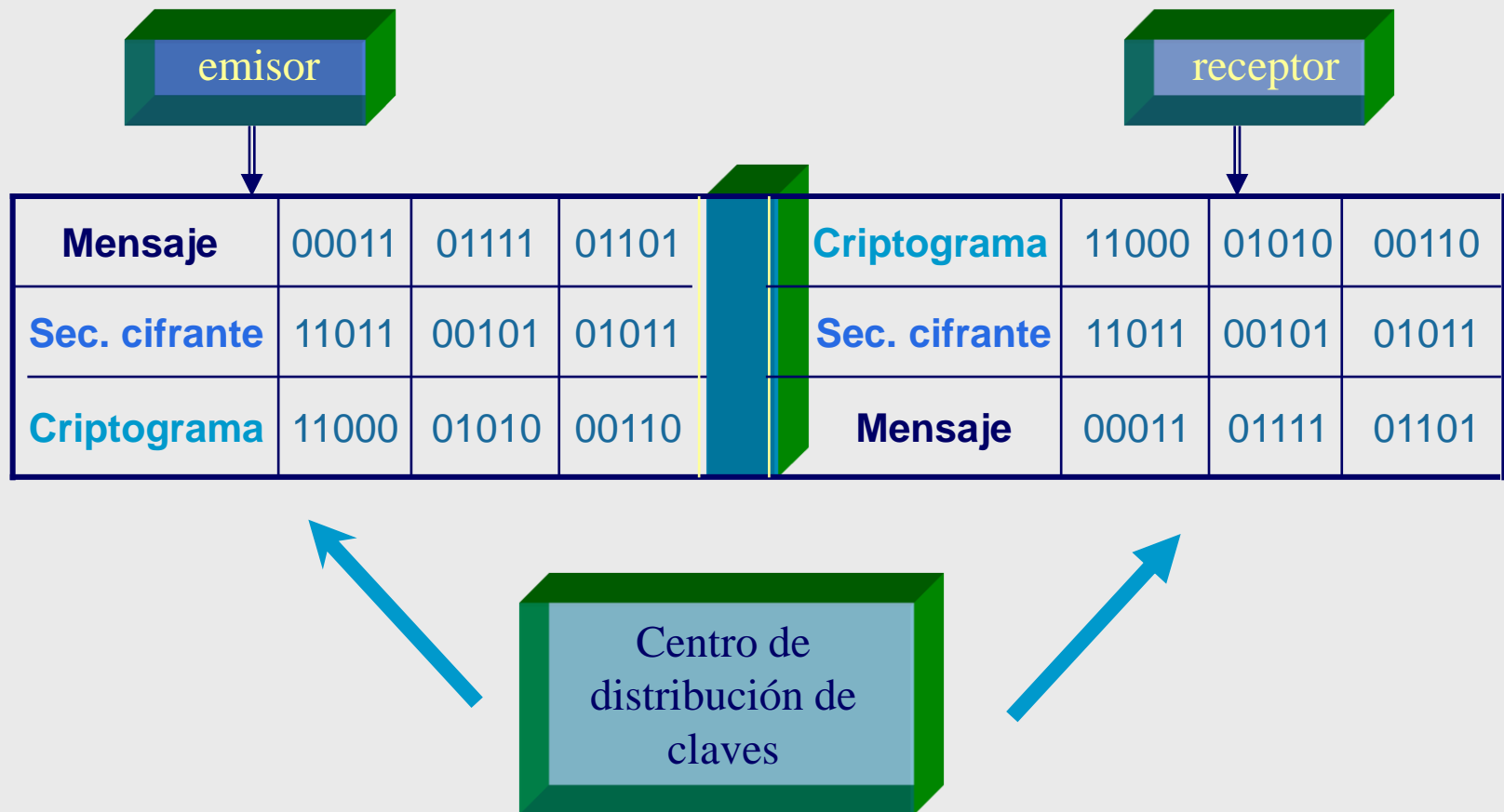
$$P(X = x \mid Y = y) = P(X = x)$$

C.E. Shannon, “Communication Theory of Secrecy Systems”,
Bell. Syst. Tech. J., 28 (1949), 656-715.

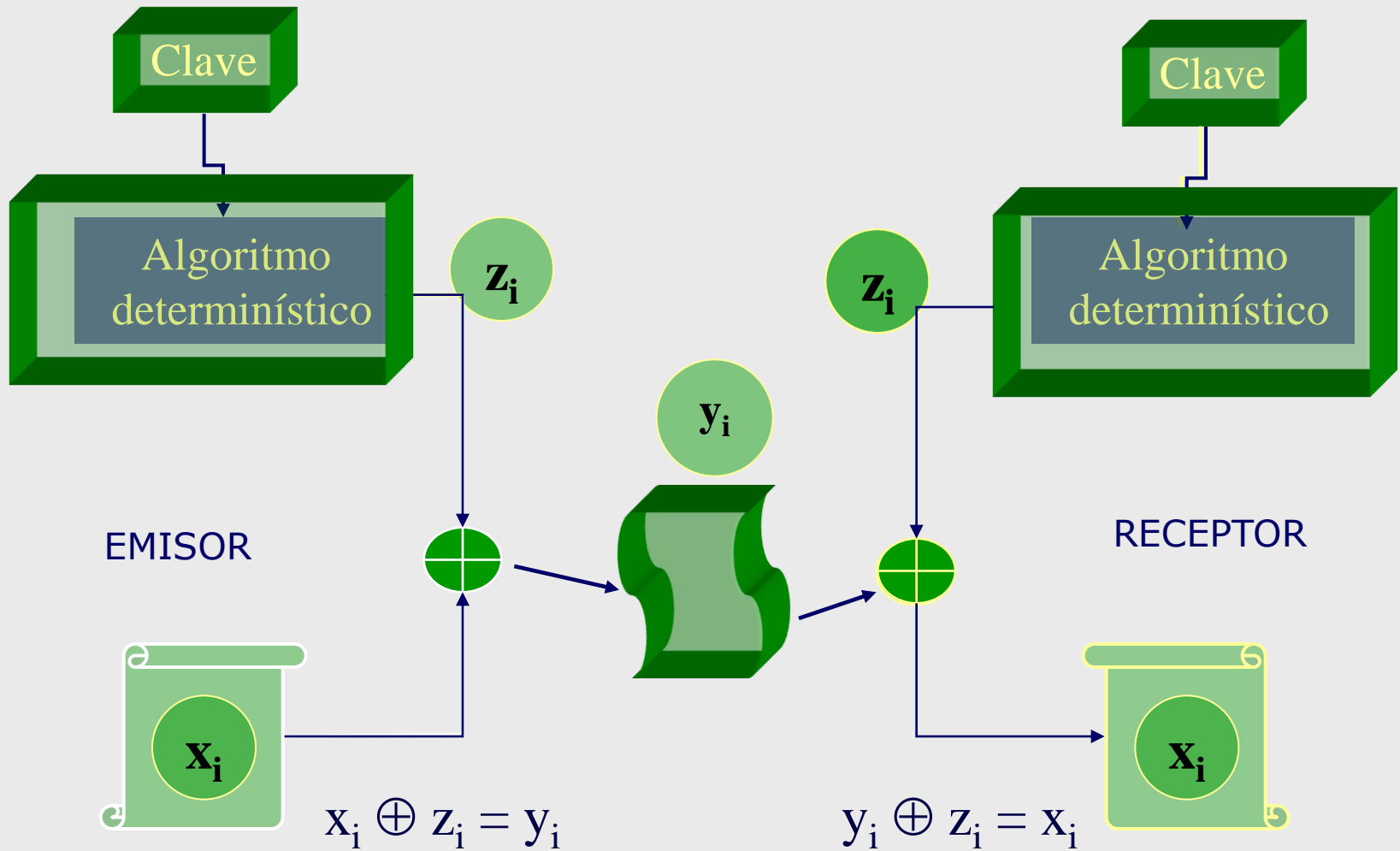


- Existen cifradores perfectos?
 - Cifrador con $X, Y, Z \in \{0, 1, \dots, L-1\}$
 - La clave se elige de forma aleatoria
 - Transformación de cifrado: $y_i = x_i \oplus z_i \text{ mod } L$
- Los cifradores aditivos módulo L verifican las condiciones de secreto perfecto
- **Conclusión:** La clave debe ser aleatoria, usarse una única vez y tener al menos igual longitud que el mensaje original

Cifrado Vernam: es viable?

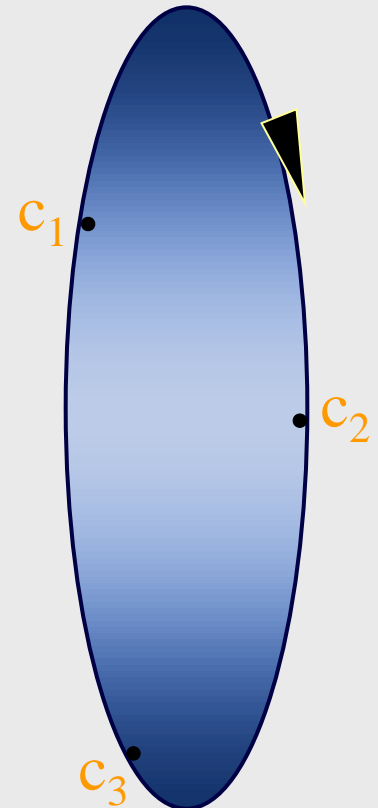


Cifrado en Flujo



Cifrado en flujo

- Cifrado bit a bit
- Sec. cifrante = Algoritmo + clave
- Generación de secuencias cifrantes
 - Periodo largo
 - Propiedades de **pseudoaleatoriedad**
 - Imprevisibilidad
 - Espacio claves
 - Facilidad de implementación
- No estamos propiamente en condiciones de secreto perfecto (Aproximación al cifrado Vernam)



Secuencia Cifrante:



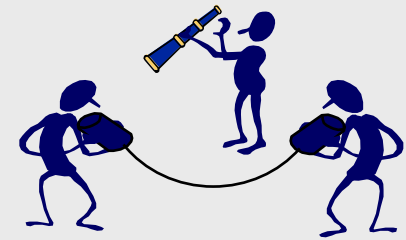
1. ¿Qué características generales presentan estas secuencias?
2. ¿Cómo son los generadores que las producen?

Secuencias Cifrantes: Características Generales (I)

- Periodo ($\approx 10^{38}$ bits)

$$T = 2^{128} - 1 \approx 3,40 \times 10^{38} \text{ bits}$$

$$V_c = 120 \times 10^6 \text{ bits/seg} \Rightarrow 9.452 \times 10^{22} \text{ años}$$



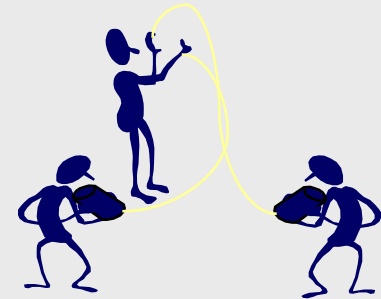
22.200 veces la edad del universo

Secuencias Cifrantes: Características Generales (II)

- Distribución de ceros y unos

0100110100111010110010010

- rachas de ceros (gaps)
- rachas de unos (blocks)



Secuencias Cifrantes: Características Generales (III)

- Autocorrelación

$$AC(k) = (A - D) / T$$

Sec.original	1	0	1	1	0	0	1	0	1	0	0	0	0	1	1	1
Sec. desplazada	0	0	1	0	1	0	0	0	0	1	1	1	1	0	1	1

- A = Número de coincidencias
- D = Número de no coincidencias
- T = periodo de la secuencia
- k = desplazamiento

$$AC(4) = (6 - 10) / 16$$

Secuencias Cifrantes: Características Generales (III)

- Autocorrelación

$$AC(k) = (A - D) / T$$

Sec.original	1	0	1	1	0	0	1	0	1	0	0	0	0	1	1	1
Sec. desplazada	0	0	1	0	1	0	0	0	0	1	1	1	1	0	1	1

- Autocorrelación en fase:

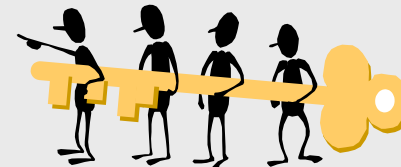
$$AC(k) = 1$$

- Autocorrelación fuera de fase:

$$AC(k) \in [-1, 1]$$

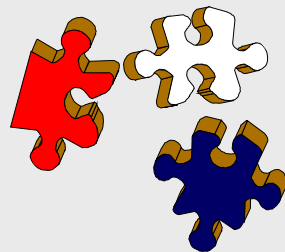
Postulados de pseudoaleatoriedad de Golomb

- G1: En cada periodo de la secuencia considerada el número de 1's tiene que ser aproximadamente igual al número de 0's.
- G2: En cada periodo de la secuencia considerada la mitad de las rachas, del número total de rachas observadas, tiene longitud 1, la cuarta parte longitud 2, la octava parte longitud 3 ... etc. Para cada longitud habrá el mismo número de blocks que de gaps.
- G3: La autocorrelación $AC(k)$ fuera de fase tiene que ser constante para todo valor de k .

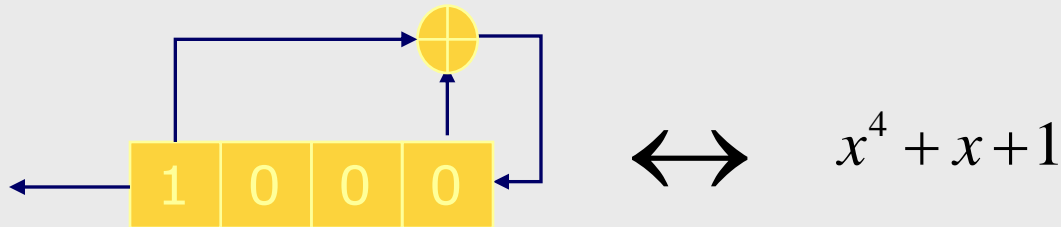
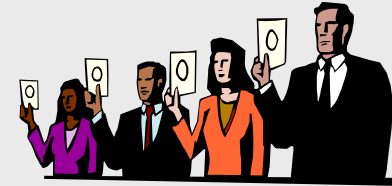


Interpretación de los Postulados de Golomb

- G1: El número de 1's y 0's tiene que aparecer a lo largo de la secuencia con la misma probabilidad.
- G2: En cada periodo de la secuencia diferentes n -gramas (muestras de n dígitos consecutivos) deben aparecer con la probabilidad correcta .
- G3: El cálculo de coincidencias entre una secuencia y su versión desplazada no debe aportar información sobre el periodo de la secuencia.



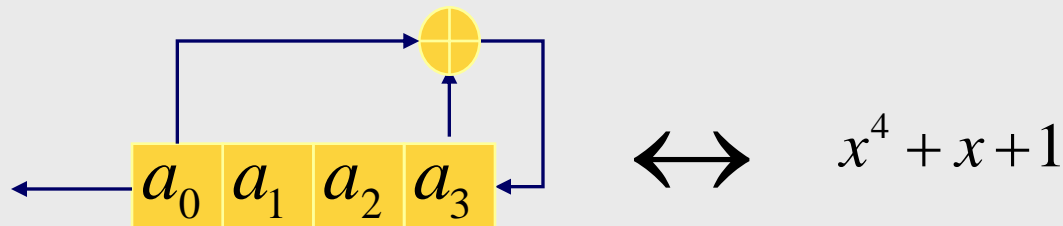
Registros de desplazamiento realimentados linealmente (LFSR)



- Parámetros del registro
 - Longitud L
 - Pol. de realimentación ó característico
- Funcionamiento
 - Desplazamiento del contenido binario
 - Entra bit realimentado
- Secuencia generada: **1 0 0 0 1 1 1 1**

•				•
1	0	0	0	
0	0	0	1	
0	0	1	1	
0	1	1	1	
1	1	1	1	
1	1	1	0	
1	1	0	1	
1	0	1	0	
•	•	•	•	•

Linear Feedback Shift Registers



- Relación de recurrencia **lineal** $P_c(x) = x^4 + x + 1$

$$a_{n+4} = a_{n+3} \oplus a_n \quad n \geq 0$$

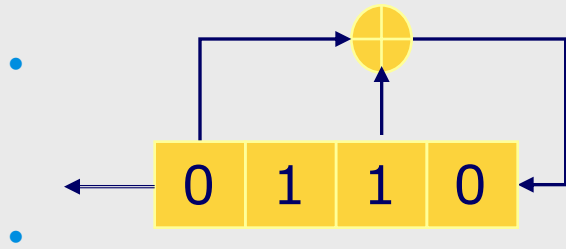
$$\begin{aligned} a_4 &= a_3 \oplus a_0 \\ a_5 &= a_4 \oplus a_1 \\ &\vdots \quad \quad \quad \vdots \end{aligned}$$

•				•
1	0	0	0	
0	0	0	1	
0	0	1	1	
0	1	1	1	
1	1	1	1	
1	1	1	0	
1	1	0	1	
1	0	1	0	
•	•	•	•	•

- Cada elemento se expresa en función de los anteriores (**relación lineal**)

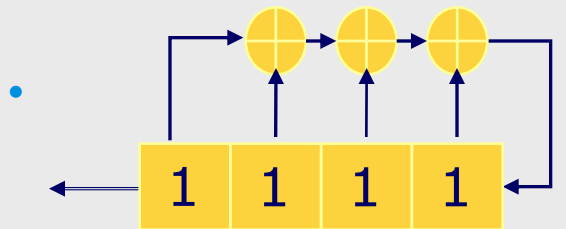
Tipos de LFSRs

Estado inicial



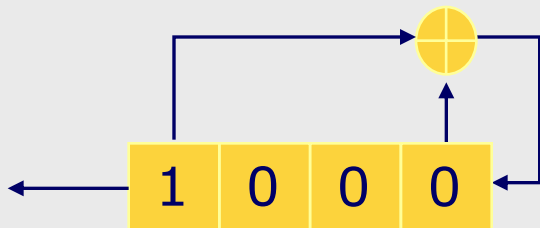
$$x^4 + x^2 + 1$$

- 0110
- 0001
- 0011



$$x^4 + x^3 + x^2 + x + 1$$

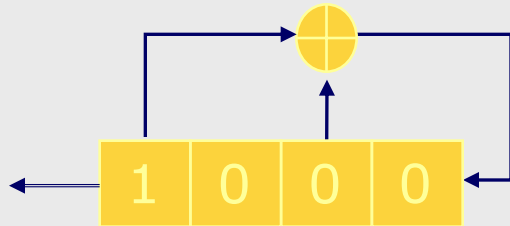
- 1111
- 0001
- 0010



$$x^4 + x + 1$$

- 1000

Periodo del LFSR (factorizable)



$$x^4 + x^2 + 1 = (x^2 + x + 1)(x^2 + x + 1)$$

0000

0110
1101
1011

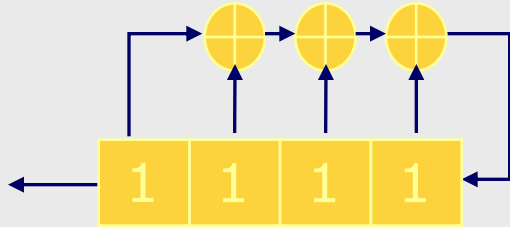
0001
0010
0101
1010
0100
1000

0011
0111
1111
1110
1100
1001

Generadores con polinomio de realimentación **factorizable**

- La longitud de la secuencia depende del estado inicial
- El periodo T verifica $L \leq T < 2^L - 1$ pudiendo aparecer periodos secundarios que son divisores del periodo T
- No adecuados para usos criptográficos
- Golomb, S. W., *Shift Register Sequences*, Holden Day, San Francisco, 1967

Periodo del LFSR (irreducible)



$$x^4 + x^3 + x^2 + x + 1$$

0000

1111
1110
1101
1011
0111

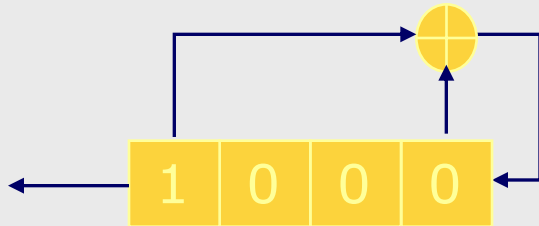
0001
0011
0110
1100
1000

0010
0101
1010
0100
1001

Generadores con polinomio de realimentación irreducible

- La longitud de la secuencia no depende del estado inicial
- El periodo T es un factor de $2^L - 1$
- No adecuados para usos criptográficos

Periodo del LFSR (primitivo)



$$x^4 + x + 1$$

0000

1000
0001
0011
0111
1111
1110
1101
1010
0101
1011
0110
1100
1001
0010
0100

- ***PN-secuencia (m-secuencia)***
- Máximo periodo posible para este tipo de generador

100011110101100

Generadores con polinomio de realimentación **primitivo**

- La longitud de la secuencia **no** depende del estado inicial
- El período es $T = 2^L - 1$
- Adecuados para usos criptográficos, su secuencia satisface los postulados de Golomb

- ¿Cuántos polinomios primitivos de grado L hay?

$$\Phi(2^L - 1) / L$$

$$L = 11 \quad \text{No.} = 176$$

$$L = 24 \quad \text{No.} = 276480$$

- Son todos buenos?

$$- \quad x^{15} + x + 1 \quad \longrightarrow \quad a_{n+15} = a_{n+1} \oplus a_n$$

$$x^{15} + x^{14} + x^{13} + x^{12} + x^{11} + x^5 + x^4 + x^3 + 1 \quad \longrightarrow$$

$$a_{n+15} = a_{n+14} \oplus a_{n+13} \oplus a_{n+12} \oplus a_{n+11} \oplus a_{n+5} \oplus a_{n+4} \oplus a_{n+3} \oplus a_n$$

- Distribución uniforme de etapas



PN-secuencias y postulados de Golomb

- G1: $T = 2^L - 1$ $\left\{ \begin{array}{l} \text{No. } 1's = 2^{L-1} \\ \text{No. } 0's = 2^{L-1} - 1 \end{array} \right.$
- G2:

Long.	Gaps	Blocks
1	2^{L-3}	2^{L-3}
2	2^{L-4}	2^{L-4}
:	:	:
r	2^{L-r-2}	2^{L-r-2}
:	:	:
L-2	1	1
L-1	1	0
L	0	1
Total	2^{L-2}	2^{L-2}

PN-secuencia

100011110101100

PN-secuencias y postulados de Golomb

- G3:

$$\begin{array}{r}
 100011110101100 \\
 \oplus 000111101011001 \\
 \hline
 100100011110101
 \end{array}$$

$$AC(1) = (7 - 8) / 15$$

$$\begin{array}{r}
 100011110101100 \\
 \oplus 001111010110010 \\
 \hline
 101100100011110
 \end{array}$$

$$AC(2) = (7 - 8) / 15$$

Las PN-secuencias verifican los postulados de Golomb

Complejidad Lineal: imprevisibilidad

- Concepto básico: cantidad de secuencia que hay que conocer para determinar el resto de la misma
- Idea general: Asociar a cada secuencia un LFSR
- Complejidad Lineal = La longitud del menor LFSR capaz de generarla
- Algoritmo de Massey-Berlekamp (1969)
 - Input: La secuencia binaria considerada

- Output:

$$\langle P(x), LC \rangle$$



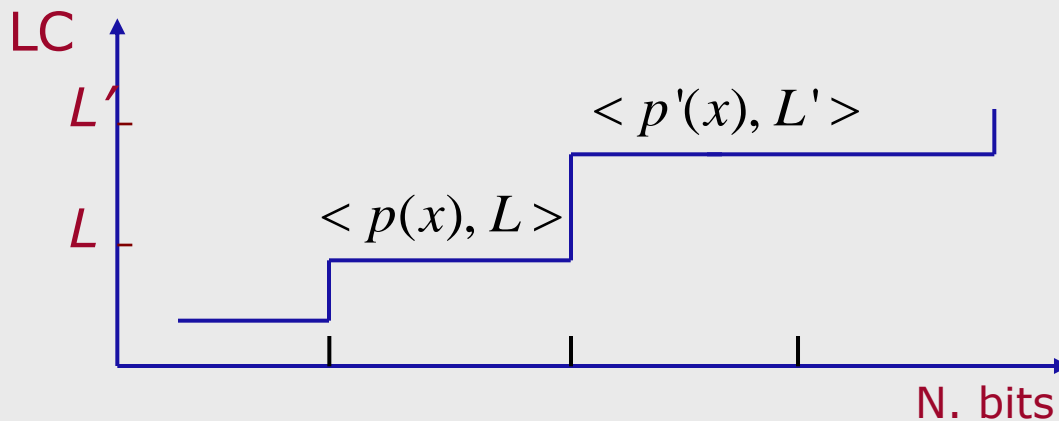
Algoritmo de Berlekamp-Massey

- Idea general:

- $S^n \equiv a_0, a_1, \dots, a_{n-1} \rightarrow \langle p(x), L \rangle$

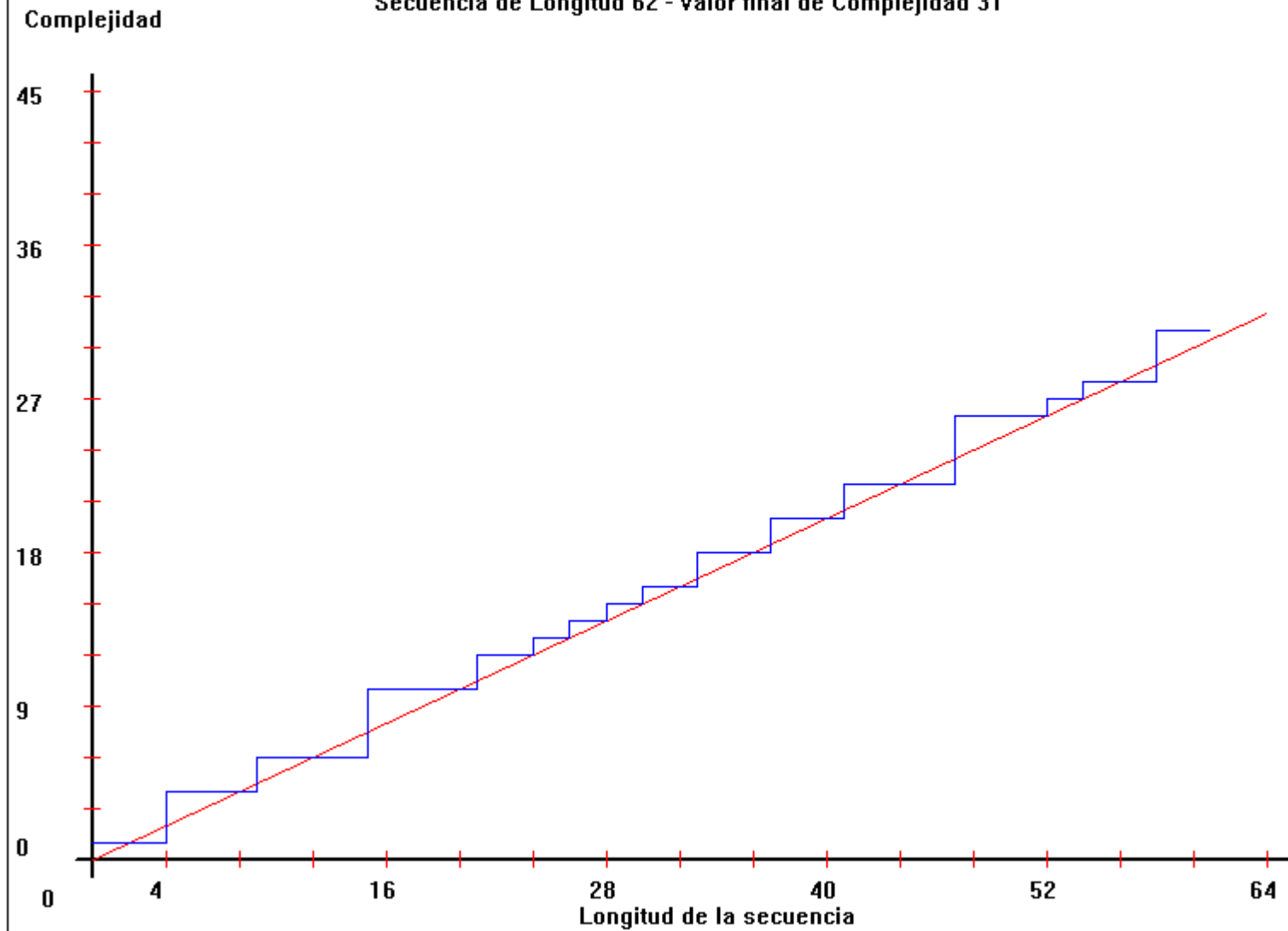
- $S^{n+1} \equiv a_0, a_1, \dots, a_{n-1}, a_n \rightarrow \langle p'(x), L' \rangle$

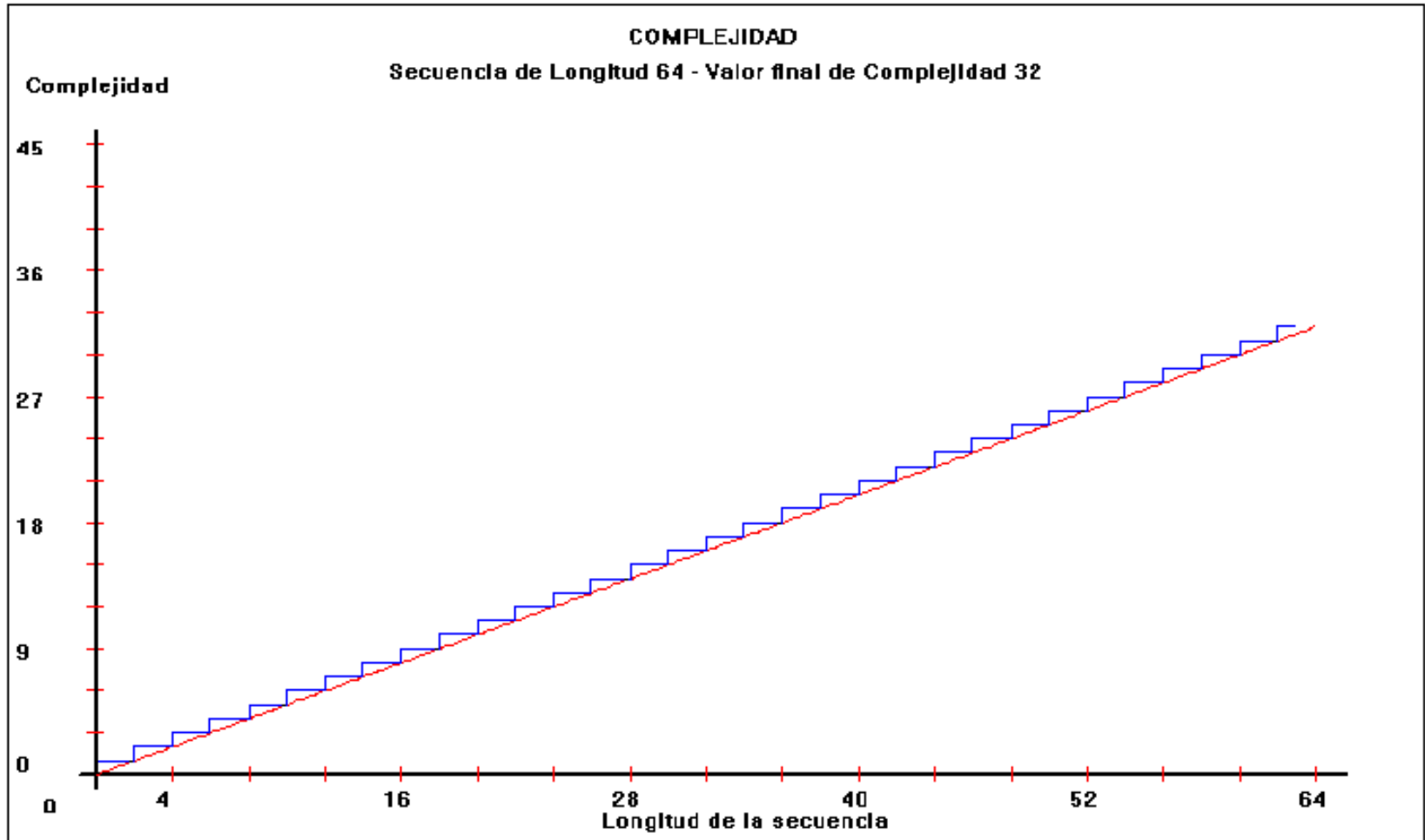
- Curva de complejidad



COMPLEJIDAD

Secuencia de Longitud 62 - Valor final de Complejidad 31





Complejidad Lineal (II)

- Secuencia 1: $T = 2^{127} - 1 \approx 10^{38} \text{ bits}$

Sec. generada por un LFSR (pol. Primitivo)

MUY PREVISIBLE

$$\langle P(x), LC \rangle \quad LC = 127, \quad 2LC = 256 \text{ bits}$$

- Secuencia 2:

1000111101000011011110100010100

$$T = 31 \text{ bits}$$

MUY IMPREVISIBLE

$$\langle P(x), LC \rangle \quad LC = 15, \quad 2LC = 30 \text{ bits}$$

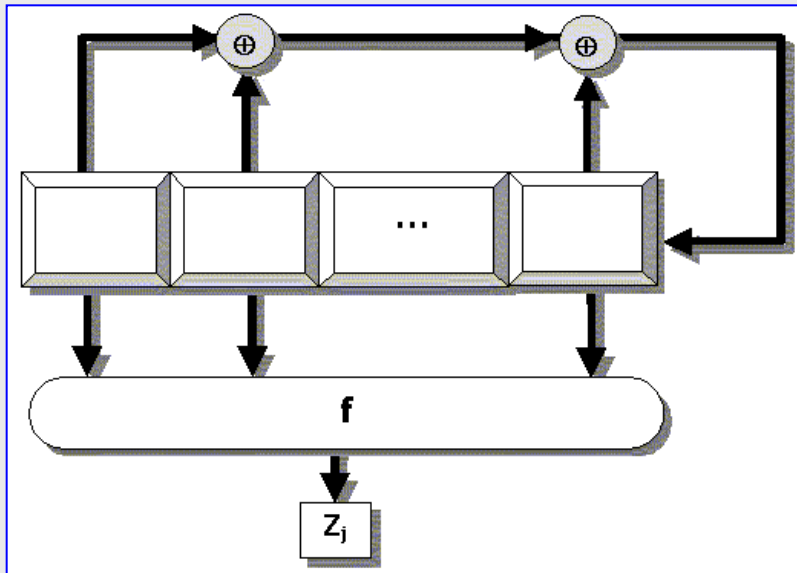
- **Relación entre T y $2 \cdot LC$**

Criptosistemas de cifrado en flujo

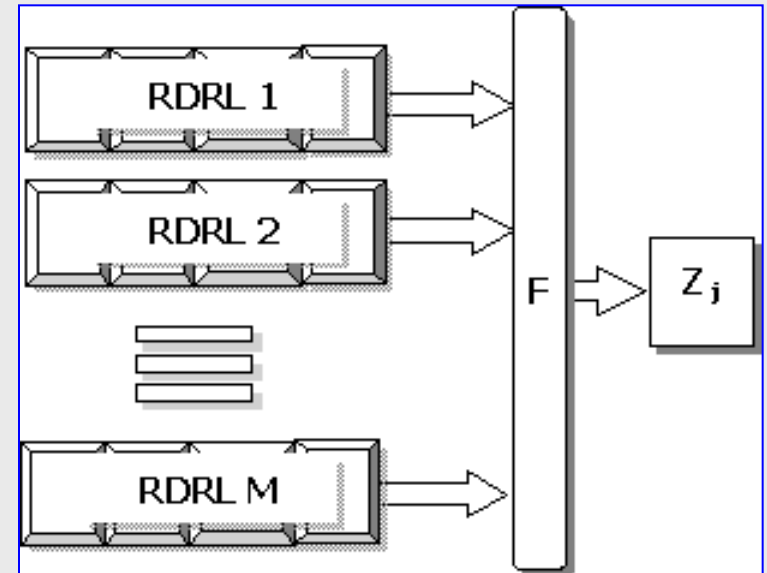
- Generadores de secuencia binaria
- Basados en Registros (LFSR)
 - Preservar las características de las PN-sec.
 - Incrementar su complejidad
- Clave: contenido inicial de estos registros
- Hipótesis de partida:
 - Conocimiento del esquema de generación
 - Conocimiento de una cantidad de la secuencia de salida



Generadores combinatoriales



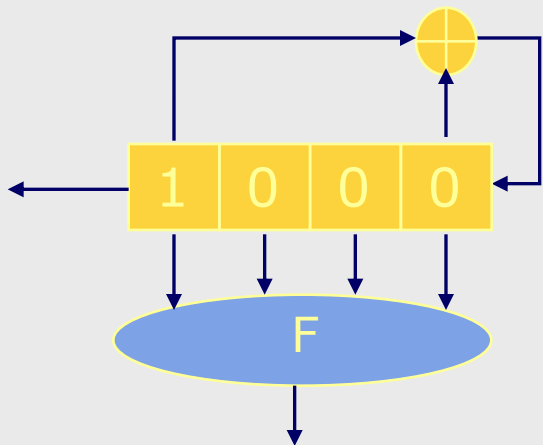
◆ Filtro no lineal



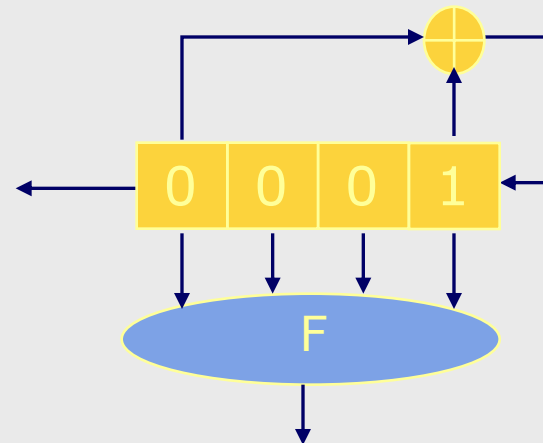
◆ Combinador no lineal

Filtros no lineales

$$F(a_0, a_1, a_2, a_3) = a_0 a_1 \oplus a_1 a_2 \oplus a_3$$



$$F(1, 0, 0, 0) = 0 \oplus 0 \oplus 0 = 0$$

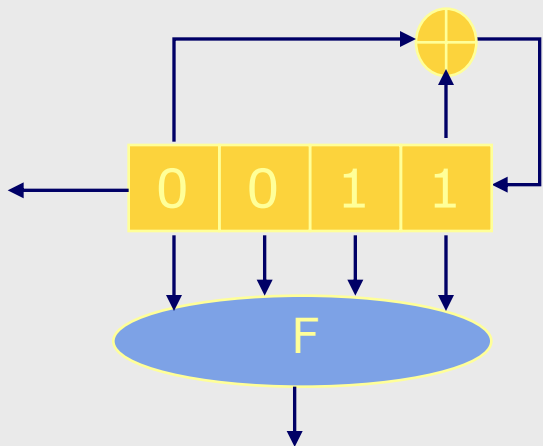


$$F(0, 0, 0, 1) = 0 \oplus 0 \oplus 1 = 1$$

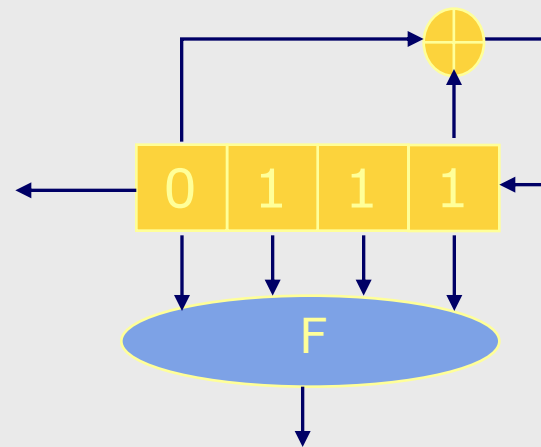
Sec. Generada = 0 1

Filtros no lineales

$$F(a_0, a_1, a_2, a_3) = a_0 a_1 \oplus a_1 a_2 \oplus a_3$$



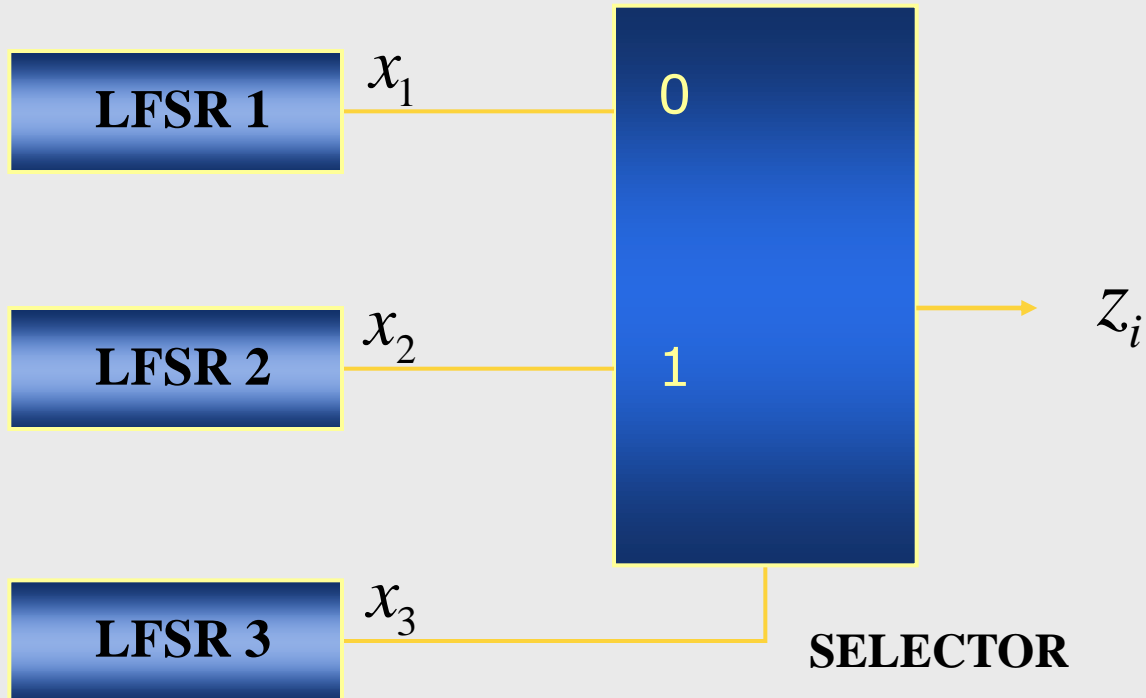
$$F(0, 0, 1, 1) = 0 \oplus 0 \oplus 1 = 1$$



$$F(0, 1, 1, 1) = 0 \oplus 1 \oplus 1 = 0$$

Sec. Generada = 0 1 1 0

Generador de Geffe (1973)



$$F(x_1, x_2, x_3) = x_1 \oplus x_1 x_3 \oplus x_2 x_3$$

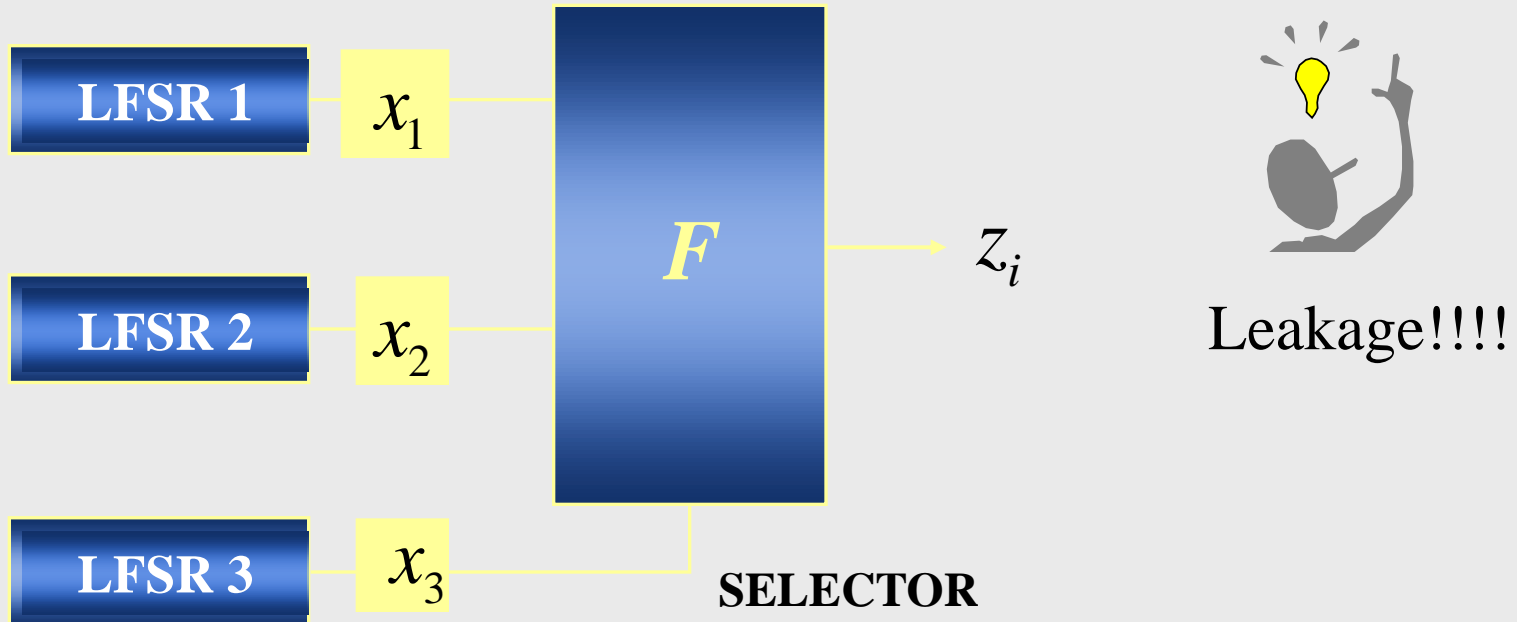
Generador de Geffe (II)

- $F(x_1, x_2, x_3) = x_1 \oplus x_1x_3 \oplus x_2x_3$
- $T = m.c.m.(2^{L_1} - 1, 2^{L_2} - 1, 2^{L_3} - 1)$
- $LC = L_2 + L_1L_2 + L_1L_3$
- Correlaciones!!!



$$L_1 = 61, L_2 = 62, L_3 = 63, \quad LC = 7687$$

Ataques por correlación (Generador de Geffe 1973)



$$z_i = F(x_1, x_2, x_3) = x_1 \oplus x_1 x_3 \oplus x_2 x_3$$

Ataques por correlación

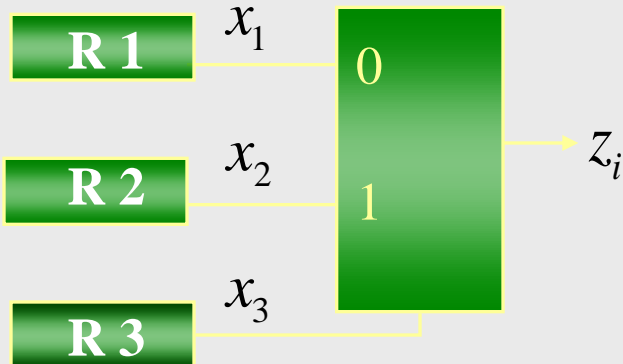


Tabla de verdad

X_1	X_2	X_3	Z_i
0	0	0	0
0	0	1	0
0	1	0	0
0	1	1	1
1	0	0	1
1	0	1	0
1	1	0	1
1	1	1	1

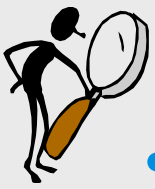
- Estrategia: “Divide and conquer”
- $2^{L_1+L_2+L_3}$ e. i. \longrightarrow $2^{L_1}, 2^{L_2}, 2^{L_3}$ por separado
 - $2^{41+43+44}$ \longrightarrow $2^{41}, 2^{43}, 2^{44}$ “ “
 - T. Siegenthaler, “Correlation-Immunity of Nonlinear Combining Functions”, IEEE Trans. on IT., 30 (1984), 312-317.

Ataques por correlación (Gefge)


- Objetivo:
 - Determinar el estado inicial de R1, R2 y R3
- Requerimientos:
 - Conocimiento de una cierta cantidad de sec. cifrante $\{z_i\}$
- Idea general:
 - Identificar un subconjunto de posibles estados iniciales de R1 y R2.
 - Comparar cada par con todos los posibles estados iniciales de R3.



Para un registro (no selector), p.e. R1

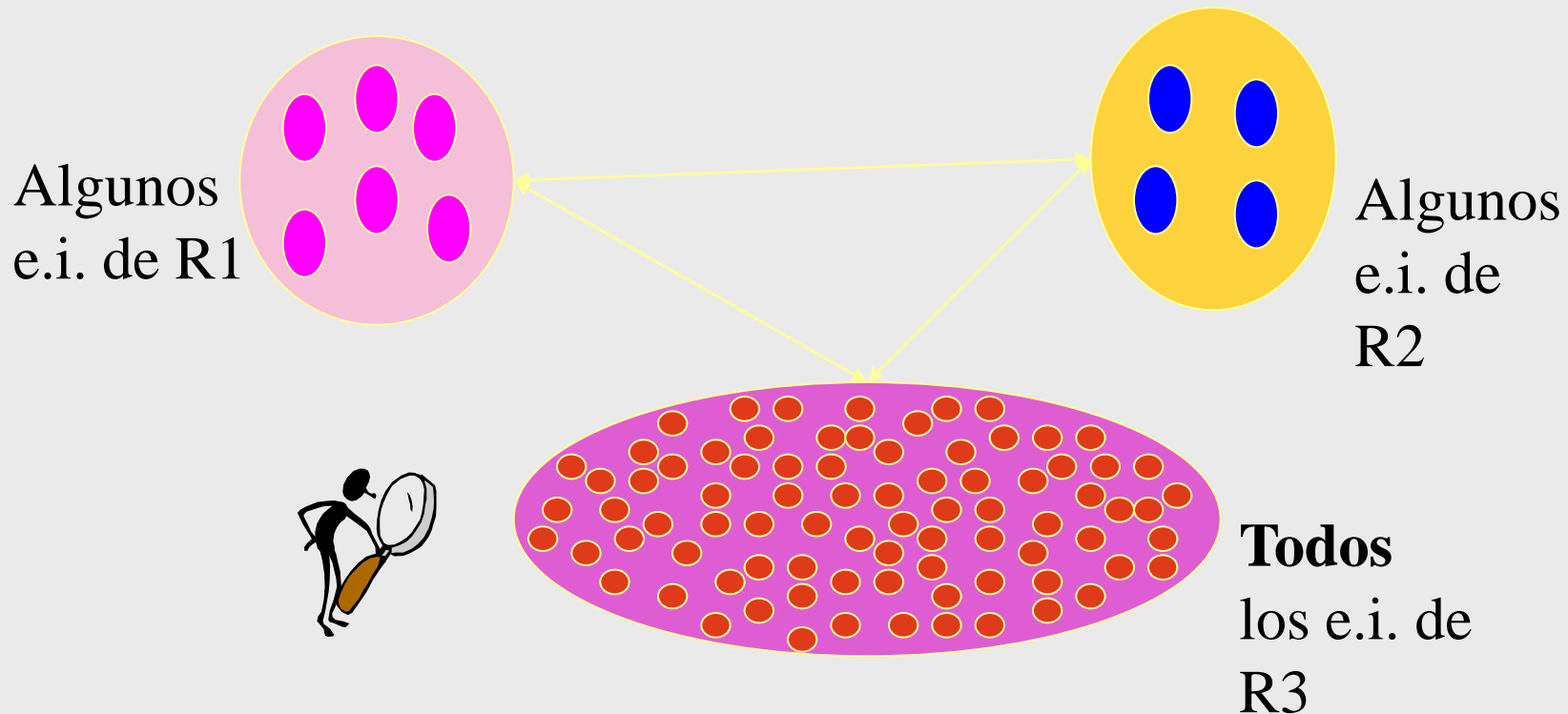
2^L e. i. 

e. i.	Sec. gener.	Indice coinc.
00...001	101000..001	$\approx 50\%$
00...010	001000..010	$\approx 50\%$
⋮	⋮	⋮
01...101	001001..101	$\approx 75\%$
⋮	⋮	⋮



- Medida: Distancia de Hamming (secuencias de igual longitud)
- Comparar: Sec. generada vs Sec.interceptada $\{z_i\}$
- Obtener un subconjunto de posibles e. i. para R1
- Actuar en paralelo para R2

Ataques por correlación

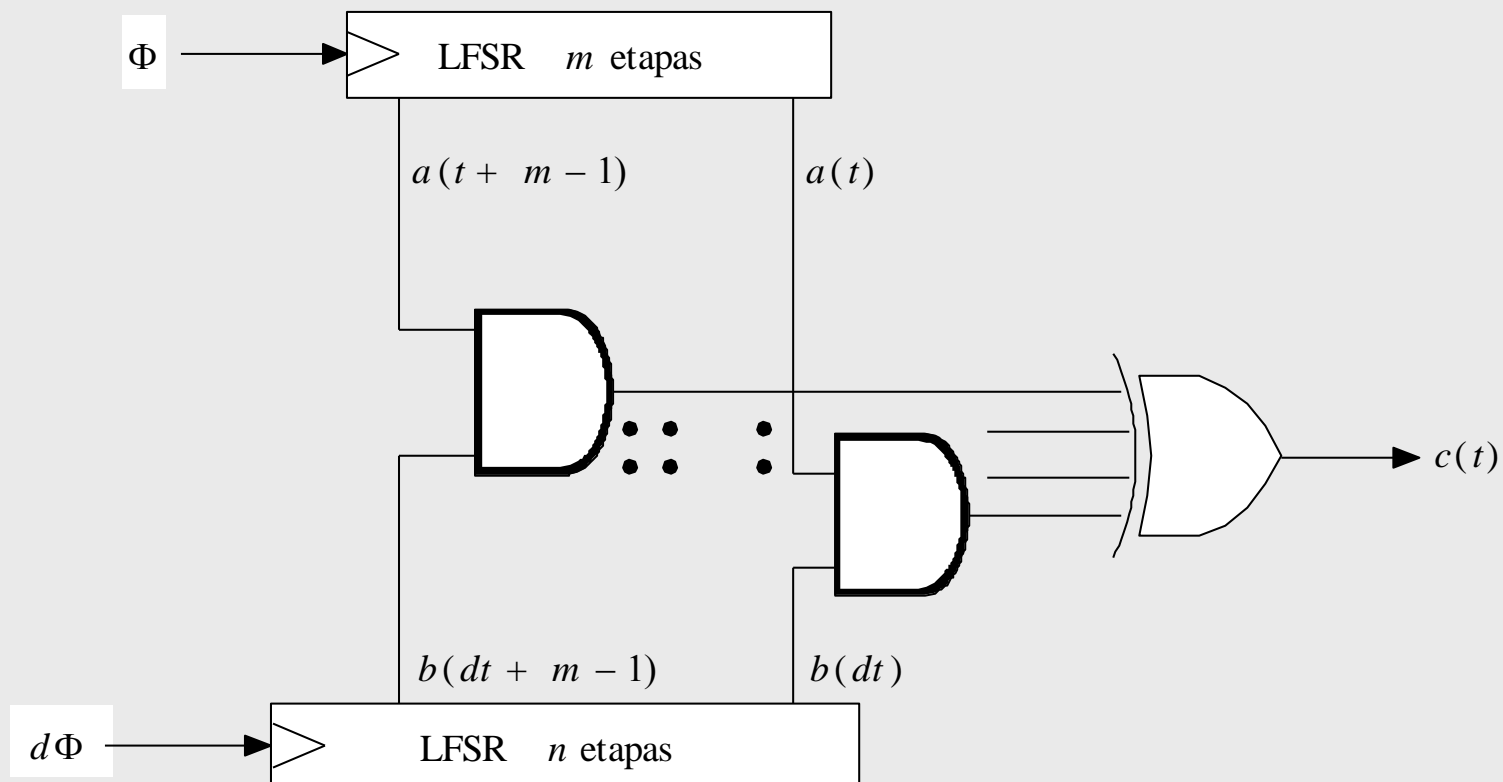


- Comprobar cada ( ,  , todos los ) con la sec. interceptada hasta descubrir el estado inicial del generador

Referencias sobre correlación

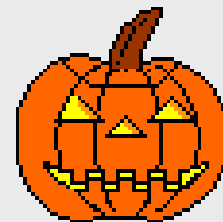
- W. Meier & O. Staffelbach, *Fast correlation attacks on certain stream ciphers*, J. Cryptology, 1989, pp.159-176.
- R. Anderson, *Searching for the optimum correlation attack*, Fast Software Encryption 1994, 1008, pp. 137-143.
- R. Anderson, *Faster Attack on certain stream ciphers*, Electro. Letters, 29, 1993.
- J. Golic et al. , *Fast correlation attacks on nonlinear filter generators*, Information Processing Letters, 64 (1), 1997.
- J. Golic, *Fast Correlation Attacks on the summation generator*, J. Cryptology, (13) 2000, pp.245-262.
- M. Mihaljevic et al., *A low-complexity algorithm for the fast correlation attack*, FSE 2000, LNCS, 1978 (2000), pp. 196-212.
- <http://www.cryptosystem.net/stream/>
- J. Golic, *Correlation Analysis on the Alternating Step Generator*, Designs, Codes & Crypto, 31, pp. 51-74, 2004.

Generador de Massey-Rueppel

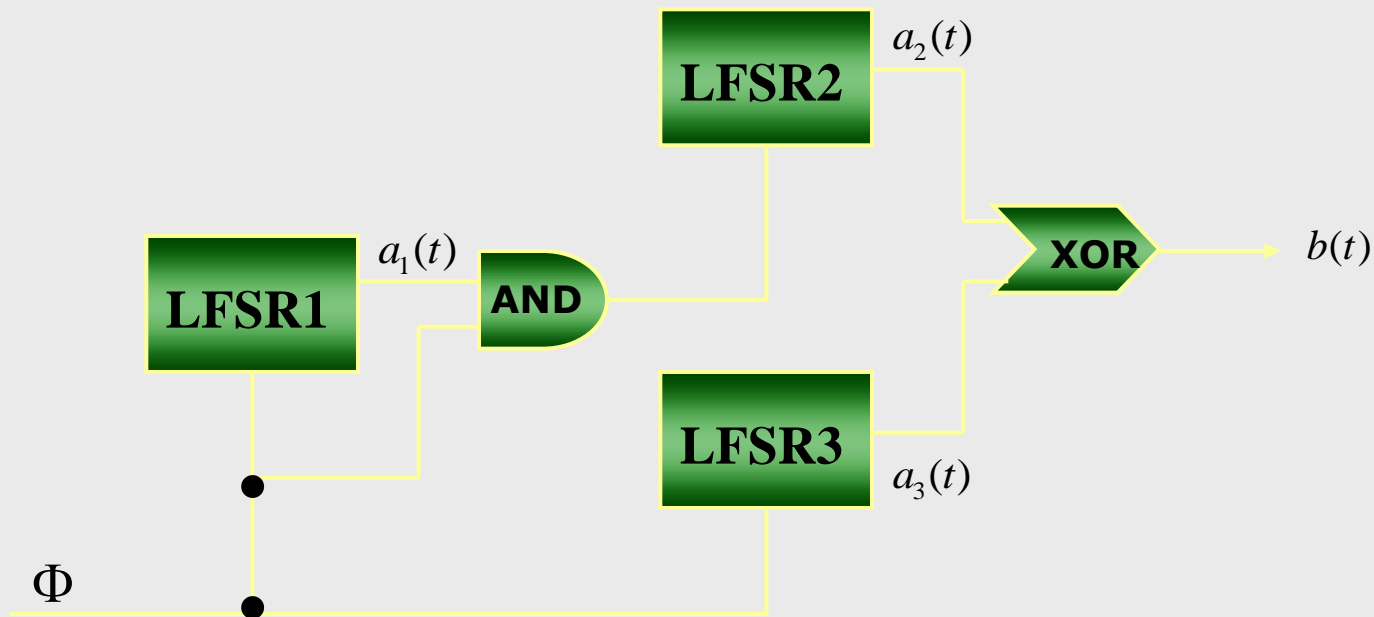


Generador de Massey-Rueppel (II)

- Los LFSRs desplazan a distinta velocidad
- Muy buena distribución de 0's y 1's
- $T = (2^{L_1} - 1) (2^{L_2} - 1)$
- $LC = L_1 L_2$ lineal en las longitudes de los LFSRs
- Criptoanálisis por baja LC



Generador de Beth-Piper



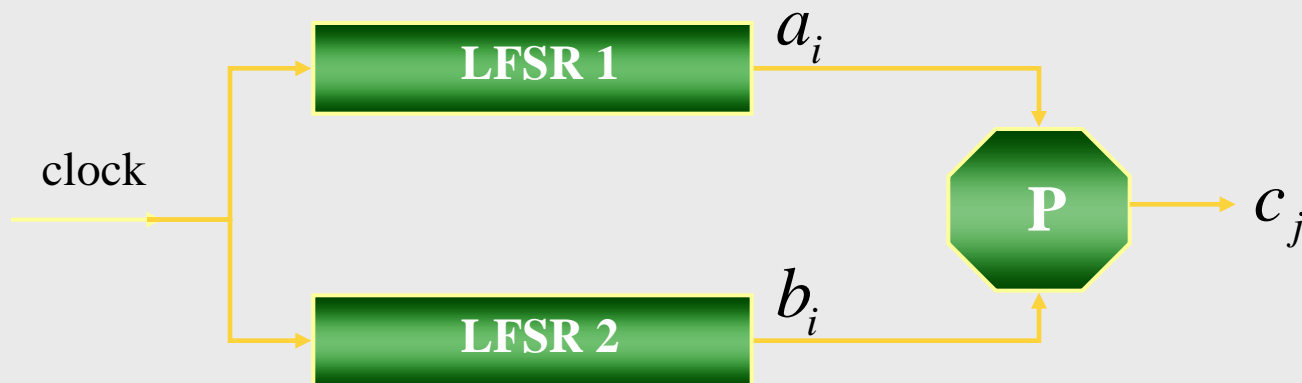
Φ Función pulsos de reloj

Generador de Beth-Piper (II)

- Modificación en el reloj de algunos LFSRs
- $T = (2^{L_1} - 1) (2^{L_2} - 1) (2^{L_3} - 1)$
- $LC = (2^{L_1} - 1) L_2 + L_3$
- Posible criptoanálisis por correlación
 - J. Golic, *Correlation Analysis on the Alternating Step Generator*, Designs, Codes & Crypto, 31, pp. 51-74, 2004.

El Generador Shrinking (1993)

- Generador binario muy sencillo (Crypto'93)
- Compuesto de dos LFSRs: LFSR1 y LFSR2



- Según P , LFSR1 (registro de control) decima la secuencia producida por LFSR2

El Generador Shrinking (Un ejemplo)

LFSRs:

- LFSR1: $L_1=3$, $P_1(D)=1+D^2+D^3$, $IS_1=(1,0,0)$
- LFSR2: $L_2=4$, $P_2(D)=1+D+D^4$, $IS_2=(1,0,0,0)$

Ley de decimación P:

- $\{a_i\} = 1\ 0\ 0\ 1\ 0\ 1\ 1\ 1\ 0\ 0\ 1\ 0\ 1\ 1\ 1\ \dots$
- $\{b_i\} = 1\ \underline{0}\ \underline{0}\ 0\ \underline{1}\ 1\ 1\ 1\ \underline{0}\ \underline{1}\ 0\ \underline{1}\ 1\ 0\ 0\ \dots$
- $\{c_j\} = 1\ 0\ 1\ 1\ 1\ 0\ 1\ 0\ 0\ \dots$

Los bits subrayados (1 y 0) se eliminan

Características criptográficas de la secuencia generada

- Periodo:

$$T = (2^{L_2} - 1) 2^{(L_1-1)}$$

- Complejidad lineal:

$$L_2 2^{(L_1-2)} < LC \leq L_2 2^{(L_1-1)}$$

- Número de 1's:

$$No. 1's = 2^{(L_2-1)} 2^{(L_1-1)}$$

secuencia equilibrada

Características criptográficas de la secuencia generada

- Periodo:

$$T = (2^{L_2} - 1) 2^{(L_1-1)}$$

- Complejidad lineal:

$$L_2 2^{(L_1-2)} < LC \leq L_2 2^{(L_1-1)}$$

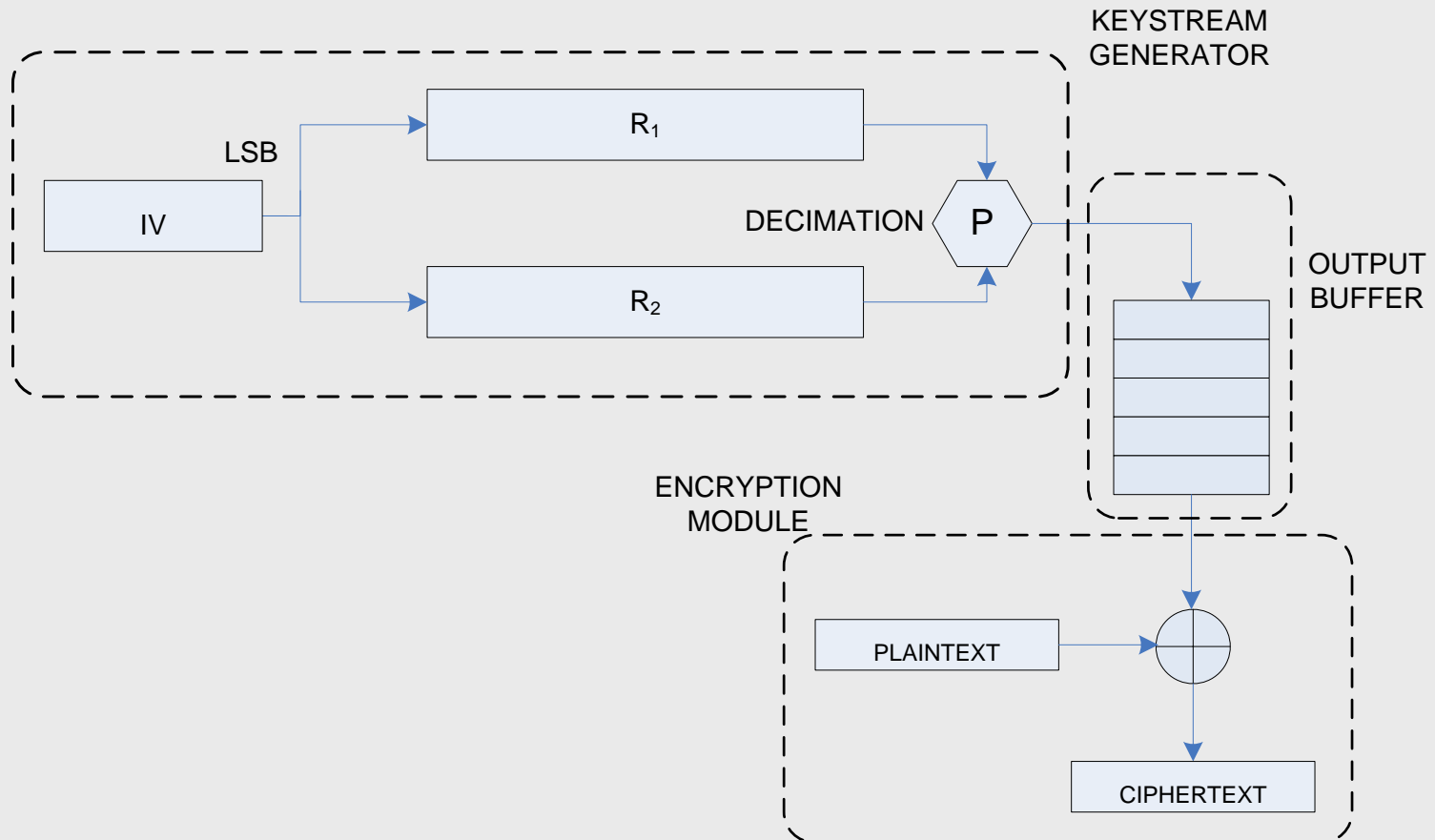
- Número de 1's:

$$No. 1's = 2^{(L_2-1)} 2^{(L_1-1)}$$

secuencia equilibrada

El Generador Shrinking (1993)

- Implementación



1000
0001 Beth-Piper
0011
0011
0111
1111
1110
1110
1101
1010
1010
0101
1011
0110
:

1000011111010

1000
~~0001~~ G. Shrinking
0011
~~0111~~
1111
~~1110~~
~~1101~~
1010
0101
~~1011~~
0110
1100
~~1001~~
0010
:

1_0_1_ _10_01_0